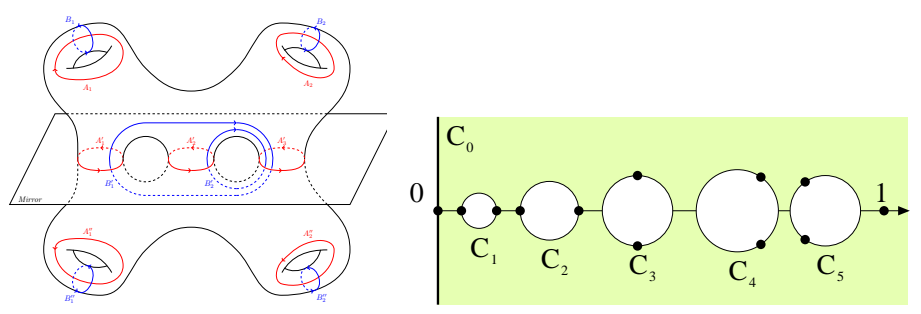
Эффективная теория римановых поверхностей и их семейств

А.Б. Богатырёв

ИВМ РАН, МЦФПМ, МФТИ, МГУ

01 апреля 2021

Римановы поверхности и их модули как источник спецфункций



На перекрестке алгебры, анализа, геометрии и топологии.

А теперь еще и эффективных вычислений

$$\theta(u,\Pi), \qquad \Theta_1(z|\mathfrak{G}), \qquad \sigma(u,\ldots)$$

Элементарная геометрия: Длина дуги эллипса

Из школьного курса математики все мы знаем, чему равна длина окружности и площадь круга. Немного усложним задачу и растянем окружность, превратив ее в эллипс.

$$x^2 + (\kappa y)^2 = 1 \tag{1}$$

Площадь внутренности эллипса посчитать несложно, а вот при вычислении длины его дуги мы наталкиваемся на эллиптический интеграл:

$$\int \sqrt{dx^2 + dy^2} = \int \sqrt{1 + \frac{x^2}{\kappa^4 y^2}} dx = \int \sqrt{\frac{x^2 + \kappa^2 (1 - x^2)}{1 - x^2}} \frac{dx}{\kappa}.$$
(2)

Вообще, эллиптическим называется интеграл вида $\int \frac{P(x)dx}{\sqrt{P_4(x)}}$, где P(x) – многочлен, а $P_4(x)$ – многочлен третьей или четвертой степени с различными корнями.

Элементарная физика: маятник

Рассмотрим тяжелое тело подвешенное в поле силы тяжести. Потенциальная энергия зависит от угла отклонения подвеса

$$U(\phi) = -mgL\cos(\phi), \tag{3}$$

где m -это масса тела, L – длина подвеса и g – ускорение силы тяжести. Уравнение движения маятника

$$\frac{L}{g}\ddot{\phi} = -\sin(\phi) \tag{4}$$

в предположении малости колебаний линеаризуют (правая часть заменяется на $-\phi$), при этом период колебаний перестает зависеть от амплитуды. Проинтегрируем движение не делая предположения о малости колебаний.

Элементарная физика: маятник

$$E = \frac{L}{2g}\dot{\phi}^2 - \cos(\phi),\tag{5}$$

откуда

$$dt = \sqrt{\frac{L}{2g}} \frac{d\phi}{\sqrt{E + \cos(\phi)}}.$$
 (6)

В правой части последнего равенства сделаем замену переменной $z=\exp i\phi$, тогда дифференциал заменится на такой:

$$\frac{dz}{\sqrt{z^3 + 2Ez^2 + z}},\tag{7}$$

с точностью до умножения на некоторую постоянную. Как видим, определение движения маятника сводится к обращению эллиптического интеграла. Так и были введены эллиптические функции.

Волчок Эйлера

Движение твердого тела в отсутствии сторонних сил (например, кувыркание космического аппарата, или точки подвеса, совпадающей с центром масс) описывается системой уравнений Эйлера:

$$J_{1}\dot{\Omega}_{1} = (J_{2} - J_{3})\Omega_{2}\Omega_{3},$$

$$J_{2}\dot{\Omega}_{2} = (J_{3} - J_{1})\Omega_{3}\Omega_{1},$$

$$J_{3}\dot{\Omega}_{3} = (J_{1} - J_{2})\Omega_{1}\Omega_{2},$$
(8)

 Ω_s — компоненты угловой скорости в системе координат, связанной с телом, и J_s — моменты инерции тела относительно его центра масс. Эта система уравнений имеет два интеграла движения, энергию и квадрат кинетического момента

$$2E = \sum_{s=1}^{3} J_{s} \Omega_{s}^{2}, \qquad M^{2} = \sum_{s=1}^{3} J_{s}^{2} \Omega_{s}^{2}, \tag{9}$$

Волчок Эйлера

Отсюда следует, что траектории динамической системы лежат на пересечении двух трехосных эллипсоидов с общими центрами, в частности являются замкнутыми. Какова же динамика вдоль каждой траектории? Используя две сохраняющихся величины, можно исключить две компоненты вектора угловой скорости из уравнений движения. Каждая компонента удовлетворяет уравнению вида

$$\dot{\Omega}_{s}^{2} = P_{4}(\Omega_{s}|E, M, J), \qquad s = 1, \dots, 3,$$
 (10)

где $P_4(\dots)$ – многочлен степени 4 по первому аргументу, коэффициенты которого зависят от энергии, величины кинетического момента и моментов инерции тела. Разделяя в последнем уравнении переменные, мы видим что время является эллиптическим интегралом от динамической переменной.

Волчок Ковалевской

Шесть уравнений движения Кирхгофа, всегда имеет три. интеграла движения: энергию, длину вектора силы тяжести и ее скалярное произведение на кинетический момент. Волчок Ковалевской имеет два равных главных момента инерции, вдвое больших третьего и точку подвеса на плоскости экватора. При этом возникает дополнительный интеграл движения, так что само движение происходит по поверхности. Динамика описывается с помощью римановой поверхности рода 2 (топологически это сфера с двумя ручками = крендель = толстая цифра 8). На т.н. якобиане (двумерном торе) движение оказывается равномерным и прямолинейным.

Уравнения мелкой воды

Солитоны (уединенные волны) были обнаружены экспериментально гидроинженером Дж.Расселом на канале Юнион в Шотландии в 1834 году. Историю этого открытия и реакцию на него со стороны ведущих ученых Англии того времени см в книге A.Newell. Профиль уединенной волны

$$u(x,t) = 2k^2/ch^2(kx - k^3t)$$
 (11)

нашли Буссинеск (1872) и Релей (1876), а знаменитое теперь уравнение Кд Φ

$$4u_t = 6uu_x + u_{xxx} \tag{12}$$

для волны в мелком канале слабо меняющейся глубины Кортевег и де Фриз только в 1895. Общее решение этого уравнения в виде бегущей волны представимо в эллиптических функциях и оно зависит от нескольких постоянных спрятанных в функции Вейерштрасса \wp . Один из предельных случаев этого решения является уединеннной волной (11).

Уравнения мелкой воды 2

Метод конечнозонного интегрирования был применен к КдФ и многим другим нелинейным уравнениям математической физики, например к описывающиму волны на мелкой воде уравнению Буссинеска

$$3u_{yy} + (6uu_x + u_{xxx})_x = 0,$$
 (13)

или обобщению последнего и КдФ уравнению Кадомцева-Петвиашвили (1970), описывающего волны в плазме.

$$3u_{yy} = (4u_t - 6uu_x - u_{xxx})_x \tag{14}$$

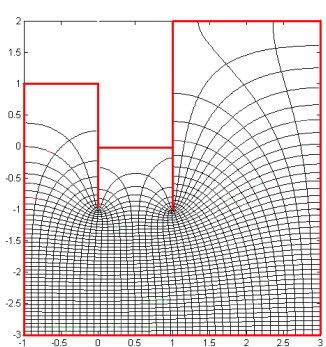
В частности решения КП в виде бегущей волны даются формулой Матвеева-Итса

$$u(x, y, t) = 2\partial_x^2 \log \theta (Ux + Vy + Wt + z|\Omega)$$
 (15)

в которой U, V, W - некоторые постоянные вектора, θ - тета функция, определяемая римановой поверхностью. Подобные алгебро-геометрические решения имеют и многие другие нелинейные уравнения математической физики (NLSE).

Конформные отображения

Известно представление Кристоффеля-Шварца для конформного отображения полуплоскости на произвольный односвязный многоугольник, возможно неограниченный. В случае, когда все углы многоугольника соизмеримы с развернутым, интеграл Кристоффеля-Шварца является абелевым на римановой поверхности. Для вычисления такого интеграла можно применить теорию функций на этой римановой поверхности.





Конформные отображения

Приложений этого подхода несколько: высокоточное решение разнообразных краевых задач для гармонических функций в многоугольнике; эталонное вычисление емкостей конденсаторов сложной формы; верификация численных методов конформного отображения, а также методов решения граничных задач для эллиптических уравнений в областях сложной конфигурации. Теоретико-функциональные методы хорошо работают даже в жестких режимах: наличие конструкционных элементов разных масштабов, входящих углов, разрезов, узких перешейков и т.п.

Задачи чебышевской оптимизации

Представления решений оптимизационных задач для многочленов и рациональных функций в случае, когда оптимизируемой величиной или наложенным ограничением задачи является равномерная норма, часто возможно в терминах римановых поверхностей. Приведем три примера.

1. Пусть как E — совокупность нескольких вещественных отрезков. Корни унимодального (monic) многочлена наименьшего уклонения можно использовать как итерационнь

отрезков. Корни унимодального (monic) многочлена наименьшего уклонения можно использовать как итерационные параметры при обращении симметричных матриц со спектром на E. Соответствующая задача формулируется так: Mинимизировать норму $||P_n||_E := \max_{x \in E} |P_n(x)|$ многочлена со старшим коэффициентом 1

Задачи чебышевской оптимизации

2. При построении n-стадийных явных устойчивых методов Рунге-Кутты p-го порядка точности возникает следующая оптимизационная задача для многочленов:

Найти вещественный многочлен $R_n(x)$ степени $\leq n$, приближающий в нуле показательную функцию с заданным порядком $p \leq n$: $R_n(x) = 1 + x + x^2/2! + \cdots + x^p/p! + o(x^p)$, для которого отклонение $||R_n||_E := \max_{x \in E} |R_n(x)|$ не превосходит единицы на возможно большем отрезке $E = [-L,0], \ L>0$.

Задачи чебышевской оптимизации

3. Следующая оптимизационная задача естественно возникает при проектировании многополосных микроволновых, числовых и аналоговых фильтров.

Дана совокупность E непересекающихся отрезков действительной оси. На каждом из отрезков импульсная функция F(x) равна 0 (полоса задержки) или 1 (полоса пропускания). Требуется среди вещественных рациональных функций R(x) заданной степени n найти наилучшее приближение импульсной функции в равномерной метрике на указаных отрезках:

$$||R - F||_E := \max_{x \in E} |R(x) - F(x)| \longrightarrow \min.$$



Рациональная оптимизация

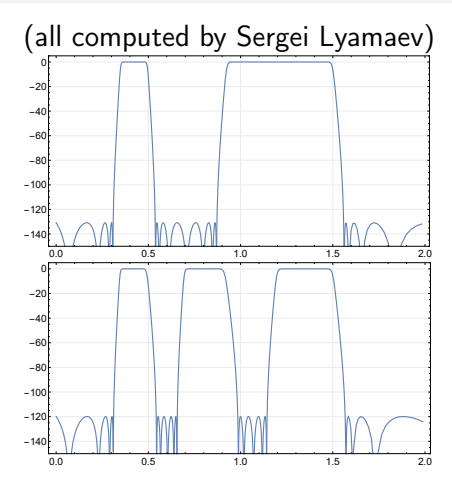
Приведенная выше задача об оптимальном фильтре для случая двух отрезков совпадает с задачей о наилучшем равномерном приближении функции сигнум и была решена Е.И.Золотаревым в 1870-х годах. Это решение – дробь Золотарева – параметрически выражается в терминах эллиптических функций и оно было использовано немецким физиком и электротехником В.Кауэром для построения оптимальных фильтров низких и высоких частот, т.н. эллиптические фильтры.





Последние обладают непревзойденными характеристиками такими как уровень подавления сигнала на полосе задержки или резкость перехода от полосы задержки к полосе

Примеры оптимальных фильтров



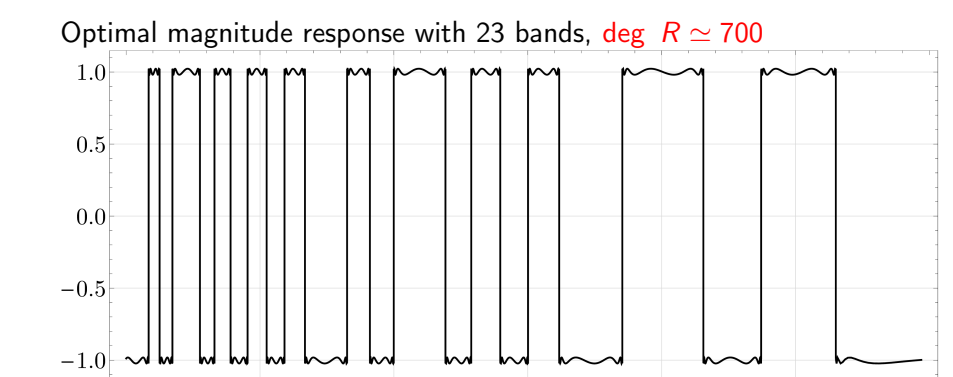
Optimal magnitude response of order 34 with ripple magnitude at the passbands $-5.10^{-5}dB$ and attenuation of -130dB at the stopbands

Optimal magnitude response of order 38 with ripple magnitude at the passbands $-10^{-5}dB$ and attenuation of -120dB at the stopbands $-10^{-1}dB$ at the

Примеры оптимальных фильтров 2

0.00

0.05



0.15

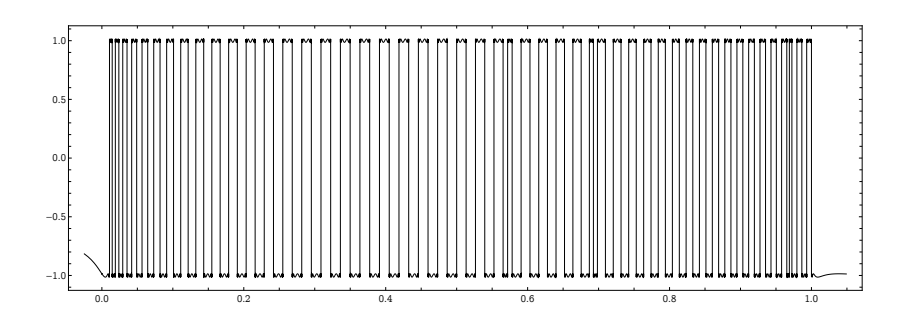
0.20

0.10

0.25

0.30

Мировой рекорд: 99 рабочих полос!!



Амплитудно-частотная характеристика фильтра с 99 полосами пропускания и задержки

Решение алгебраических уравнений

Решать квадратные уравнения умели еще древние шумеры, вавилоняне и египтяне более 3000 лет назад. Кардано опубликовал формулы для решения уравнения 3-й степени (открыта дель Ферро) и 4 степени (придумана его учеником Феррари) в одной книге Ars Magna в 1545 году. Абель и Руффини и впоследствии Галуа доказали невозможность решения уравнеия общих уравнений 5 степени и всех больших при помощи арифметических действий и извлечения корней. Дальнейшие усилия математиков были направлены на расширение списка элементарных операций, что привело Эрмита в 1858 году к решению уравнений пятой степени с использованием эллиптических модулярных функций. За этим последовали работы Кронеккера (1861) и Бриоски (1867) о решении уравнений 6 степени правда не общего вида вида -см. историю вопроса в лекциях Ф.Кляйна. Наконец, Х.Умемура предложил в 1983 году универсальную формулу для решения алгебраических уравнений в терминах тэта функций Римана

Плоская гидродинамика, магнетика..

Аналогия Гельмгольца: движения идеальной жидкости \leftrightarrow (вещественные) мероморфные дифференциалы на поверхностях. Пусть в плоской области имеется незавихренное стационарное течение $V=(V_1,V_2)$ несжимаемой жидкости.

rot
$$V = 0$$
; div $V = 0$.

Из первого следует, что у течения есть (локальный) потенциал p, а из второго — функция тока f:

$$V_1 = \frac{\partial p}{\partial x_1} = \frac{\partial f}{\partial x_2}$$

$$V_2 = \frac{\partial p}{\partial x_2} = -\frac{\partial f}{\partial x_1}.$$

Это условия Коши-Римана для т.н. комплексного потенциала F=p+if относительно комплексной независимой переменной $z=x_1+ix_2$. Сам поток жидкости теперь связан с дифференциалом: $dF=(V_1-iV_2)dz$. Запись течения в виде дифференциала удобна тем, что краевое условие непротекания записывается просто как вещественность дифференциала на границе.

Плоская гидродинамика, магнетика..

Тем самым мы получили конформно инвариантное описание течения жидкости: Если две области связаны конфорным отображением, то перенос дифференциала дает нам не только сохранение уравнений движения, но и краевых условий. Дифференциалы с особенностями позволяют описывать течения с источниками, стоками, вихрями, диполями. Перевод терминов теории функций и физических терминов дает словарик

Flow

Complex potential of flow

Simple sourse/sinc

Vortex

bifurcation point

stream lines

equipotential lines

Circulation/Flux through the arc C

Abelian differential Abelian integral

Log pole

Log pole with Im Res \neq 0

zero of differential vertical foliation horizontal foliation

Re/Im part of integral along C.

Плоская гидродинамика, магнетика...

